

# Расчетная методика определения структуры и параметров РЗА в системах электроснабжения ответственных потребителей



**В данной статье вы найдете ответы на следующие вопросы:**

- Каким образом можно определить экономически выгодную структуру и параметры релейной защиты и автоматики для системы электроснабжения?
- Что положено в основу данной методики?

**Авторы**  
Арцишевский Я.Л.,  
Задкова Е.А.,  
Кузнецов Ю.П.

Данная статья является продолжением темы, поднятой в журнале «Релейщик» (№ 1 (2), 2009 г.), комментариев участников «круглого стола» по проблемам реализации стандарта МЭК 61850, стр. 14–15) о роли экономических обоснований технических решений по релейной защите и автоматике (РЗА). Многие собственники генерирующих и энергопотребляющих компаний стоят перед мучительным вопросом – на чем сэконом-

мить деньги и одновременно не допустить потерь из-за аварийных остановов?

Вот наш вариант ответа на подобный вопрос. Как известно, устойчивость функционирования ответственных потребителей электроэнергии может нарушаться вследствие провалов питающего напряжения [1].

Интересующие нас значения параметров потока провалов напряжения зависят от:

- параметров потока коротких замыканий (КЗ) и оперативных переключений в системе электроснабжения;
- электромагнитных и электромеханических параметров системы электроснабжения совместно с подключенной нагрузкой и учетом параметров систем возбуждения и АРВ синхронных двигателей;
- структуры и параметров системы РЗА.

Перечисленные исходные данные позволяют определить форму кривой питающего напряжения в заданном узле системы электроснабжения для каждой расчетной комбинации исходного режима, точки и вида КЗ, действия РЗ, АРВ, АРВ и т.д. По найденной форме кривой определяется длительность и глубина провала питающего напряжения.

Следует отметить, что при рассмотрении одного и того же события с некоторой длительностью ликвидации КЗ в различных узлах системы электроснабжения, например на шинах различных главных понизительных подстанций (ГПП) и подстанций (ТП) сети 6 (10) кВ внутреннего электроснабжения, а также на шинах и в трансформаторах 110 (220) кВ сети внешнего электроснабжения, глубина и длительность провала будут различными из-за особенностей схемы связи узла с источниками, а также выбега и самозапуска двигательной нагрузки.

Эти различия обусловлены связью сеть внешнего электроснабжения, свойствами двигательной нагрузки, включая ответственных потребителей, структурой и параметрами системы внутреннего электроснабжения, а также структурой и параметрами системы РЗА внешней и внутренней частей системы электроснабжения.

Поэтому из всего многообразия ГПП и ТП системы электроснабжения необходимо выбрать для расчета небольшое количество типовых и наиболее ответственных узлов систем электроснабжения. В отдельных случаях достаточно рассмотреть один типовой узел.

Именно для них следует найти прогнозируемые значения параметров потока провалов. Методика определения искомых характеристик известна [3, 4, 5, 6] и базируется на переборе по схеме сети расчетных точек КЗ различных

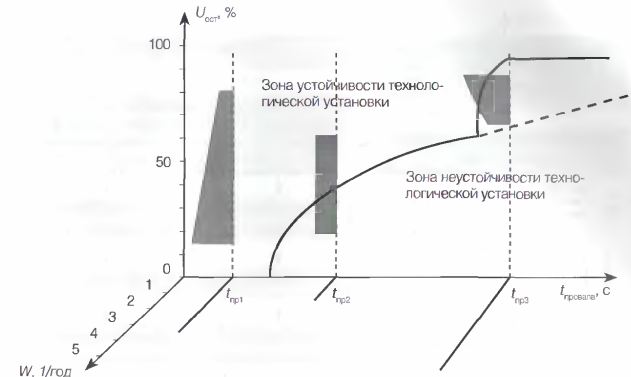


Рис. 1. Пример совмещения прогноза параметров потока провалов и границы зоны устойчивости технологической установки

видов. Список учитываемых точек КЗ должен включать:

- всю последовательную цепочку элементов системы электроснабжения от питающей подстанции внешнего электроснабжения до расчетного узла с учетом их повреждаемости (это «ствол» системы электроснабжения). После действия РЗ и отключения выключателя на «стволе» провал продолжается до действия АРВ или АРВ;
- все параллельные элементы системы электроснабжения с учетом их количества и повреждаемости (это «ветви» системы электроснабжения). После действия РЗ и отключения выключателей на «ветвях» начинается самозапуск потребителей и провал напряжения заканчивается.

Полученные в результате расчетов данные по длительности и глубине провалов сортируются по длительности и изображаются графически в пространстве параметров потока провалов с координатами реально выявленных сочетаний:

- длительности провала ( $t_{\text{пр}}$ , сек);
- остаточного напряжения ( $U_{\text{ост}} \%$ );
- среднего количества в год ( $W, 1/\text{год}$ ).

Эти данные являются характеристикой системы электроснабжения и ее системы РЗА.

Свойства нагрузки должны быть пред-

ставлены в форме границ зон устойчи-  
вости нагрузки в координатах ( $U_{\text{ост}}$  и  $t_{\text{пролаг}}$ ). Методика определения границ зон устойчивости нагрузки известна [5, 6] и базируется на обобщении ре-  
зультатов математического модели-  
рования и результатов мониторинга  
устойчивости нагрузки при провалах.  
Прогноз устойчивости нагрузки может  
быть определен графически при совме-  
щении перечисленных характеристик.  
Пример такого совмещения приведен  
на рис. 1 применительно к технологиче-  
ской установке.

Использованная граница соответствует требованию сохранения устой-  
чивости технологической установки  
после провала в питающем напряже-  
нии с успешной автоматической ре-  
синхронизацией синхронных двига-  
телей. При этом конфигурация и режим  
ответственного оборудования техно-  
логической установки восстанавливаются  
без участия оперативного персо-  
нала, однако часть вспомогательного  
оборудования, допускающего перерывы  
электроснабжения без нарушения тех-  
нологического процесса, может быть  
включена в работу по командам опера-  
торов технологической установки.

При определении прогнозируемых значений длительностей и годового количества провалов  $W$  осуществляется перебор и сортировка возможных со-  
бытий и явлений в системе электро-

Арцишевский Я.Л., чл.-корр. АЭН РФ, к.т.н., доцент МЭИ (ТУ)  
Задкова Е.А., к.т.н., ст. препод. Сызранского филиала Самарского ГТУ  
Кузнецов Ю.П., лауреат Государственной премии РФ, к.т.н., доцент МЭИ (ТУ)

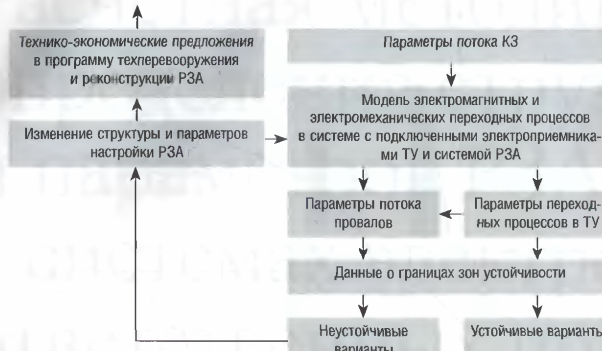


Рис. 2. Алгоритм технико-экономического обоснования предложений в программу техперевооружения и реконструкции

снабжения с оценкой их прогнозируемого годового количества, в частности: КЗ на соседних фидерах («ветвях») своего ТП, запуск нагрузки своего ТП, КЗ на шинах своего ТП («ствол»), КЗ на шинах внешнего электроснабжения («ствол»), КЗ на других линиях, присоединенных к питающей линии подстанции внешнего электроснабжения («ветвь»), затухающие качания в энергосистеме, система авария в энергосекции ГПП («ствол»), КЗ в зоне дифференциальной защиты понижающего

трансформатора («ствол»), КЗ на питающей линии внешнего электроснабжения («ствол»), КЗ на питающей системе шин внешнего электроснабжения («ствол»), КЗ на других линиях, присоединенных к питающей линии («ствол»), ошибочное отключение своей питающей линии («ствол»), КЗ на шинах питающей линии («ствол»), КЗ в зоне дифференциальной защиты понижающего

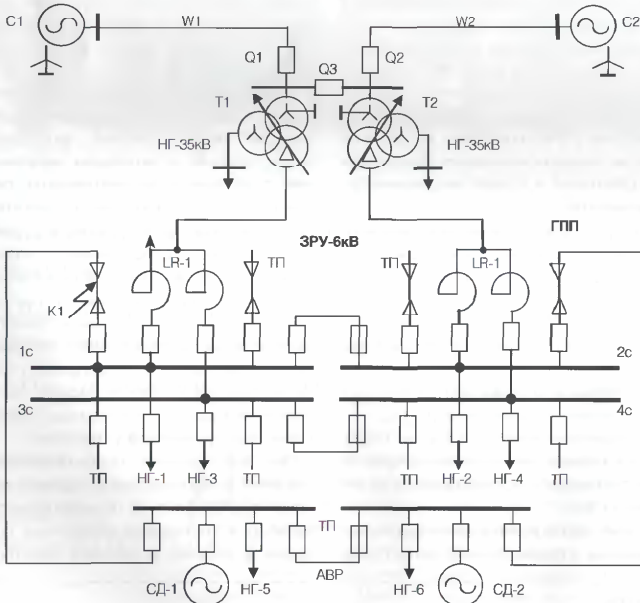


Рис. 3. Схема моделируемой системы электроснабжения

При определении значений остаточных напряжений и границ зоны устойчивости технологической установки используются результаты программного моделирования электромагнитных и electromеханических переходных процессов выбега и запуска различных групп двигателей при КЗ и переключениях по командам системы РЗА во внутренней и внешней частях системы электроснабжения. Структура и параметры математической модели должны учитывать реальные электромагнитные и electromеханические параметры переходных процессов в системе электроснабжения и логику системы РЗА [5, 6].

Пример данных на рис. 1 характеризуется наличием трех составляющих потока провалов с длительностью  $t_{np1}$ ,  $t_{np2}$  и  $t_{np3}$ .

Первая составляющая потока с  $t_{np1}$  имеет сочетание значений параметров ( $t_{np1}, U_{osc}$ ), расположенное в зоне устойчивости ТУ, поэтому соответствующая первая группа событий и явлений в системе электроснабжения не вызывает рисков нарушений устойчивости технологической установки при сохранении существующей структуры и параметров РЗА и системы в целом.

Вторая составляющая потока провалов с  $t_{np2}$  имеет сочетание значений параметров, расположенное по обе стороны границы зоны устойчивости. Поэтому вторая группа событий и явлений в системе может вызвать нарушение устойчивости и соответствующие технические, экономические, экологические ущербы и возможные риски нарушений требований регламентов по безопасности, следовательно, целесообразно планировать и реализовывать мероприятия по техперевооружению и реконструкции.

Третья составляющая потока провалов с  $t_{np3}$  на рис. 1 имеет сочетание значений параметров ( $t_{np3}, U_{osc}$ ), полностью расположенное в зоне неустойчивости технологической установки. Поэтому соответствующая третья группа событий и явлений в системе вызывает нарушение устойчивости технологической установки и представляет риски технико-экономических потерь и нарушений требований регламентов по безопасности. Для преодоления этого недостатка требуется выбор стратегии и направления техперевооружения и реконструкции системы электроснабжения.

Имеются две стратегии решения этой технико-экономической задачи:

Первая стратегия – Повышение устойчивости технологической установки за счет смещения вправо-вниз границы зоны устойчивости путем техперевооружения и реконструкции электропривода технологической установки. Это весьма затратный вариант, так как требует изменений в первичном оборудовании каждой технологической установки.

Вторая стратегия – Повышение устойчивости технологической установки за счет смещения влево-вверх значений параметров составляющей потока провалов. Это значительно менее затратный вариант, так как предусматривает техперевооружение и реконструкцию вторичной аппаратуры, причем отдельные устройства РЗА определяют значения параметров части потока провалов большого количества отдельных потребителей электроэнергии и их групп, определяемых схемой системы электроснабжения.

Известен следующий типовой список направлений техперевооружения и реконструкции РЗА в системах электроснабжения ответственных потребителей, он состоит из четырех групп мероприятий:

- 1) опережающее автоматическое действие сети внешнего электроснабжения с соответствующим повышением остаточного напряжения для пуска и уменьшения задержки из-за каскадного действия пускового органа АВР. Для реализации может потребоваться 2–3 устройства по числу питающих подстанций внешнего электроснабжения;

- 2) применение быстродействующего АВР с комбинированным пуском (напряжение, частота, угол...). Для реализации могут потребоваться несколько устройств (по числу ГПП);

- 3) повышение быстродействия ступенчатых защит за счет использования каналов связи для блокировки быстродействующих ступеней. Для реализации может потребоваться сеть из десятков каналов связи (по числу защищаемых объектов (шин, линий)). При реализации сети передачи блокирующих сигналов может использоваться система передачи GOOSE-сообщений на базе стандарта IEC 61850 [2];

- 4) повышение быстродействия РЗА за счет уменьшения ступени селективности в защитах с относительной селективностью. Для реализации может потребоваться замена практически всего комплекта РЗ (десятков и сотни устройств) на микропроцессорную реализацию в сочетании с заменой выключателей в отдельных энергобайонах или в системе электроснабжения в целом.

Список из четырех направлений техперевооружения и реконструкции РЗА составлен в порядке увеличения требуемого количества и стоимости устройств РЗА.

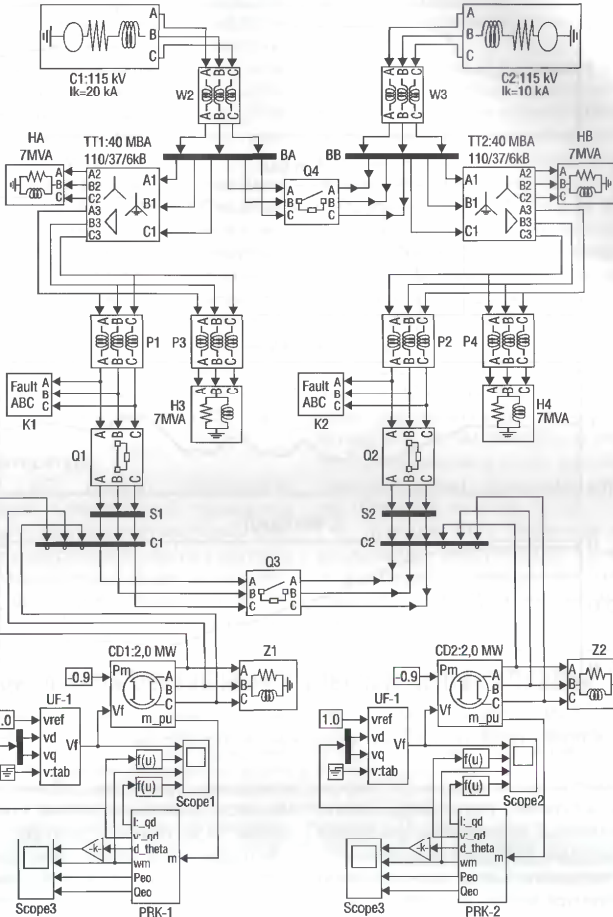


Рис. 4. Структурная схема модели системы электроснабжения

На рис. 2 представлен алгоритм последовательного подбора и технико-экономического обоснования варианта структуры и технических параметров РЗА по критерию обеспечения устойчивости технологических установок.

Ядром алгоритма является математическая модель электромагнитных и electromеханических переходных процессов в системе электроснабжения с подключенными электроприводами и системой РЗА. Используемая модель должна адекватно учитывать свойства связанных сетей внешнего электроснабжения,

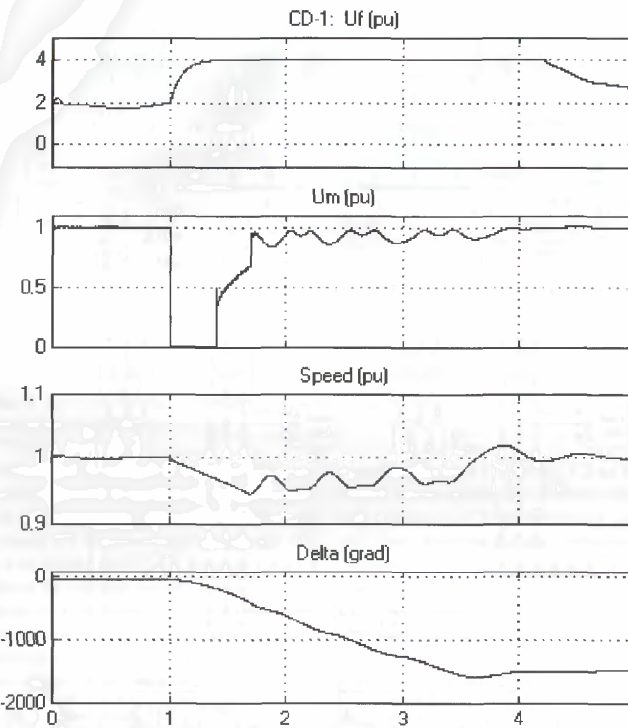


Рис. 5. Пример расчета переходного режима электрической системы

параметры групп асинхронных и синхронных двигателей с учетом инерционности и моментных характеристик ярзаемых механизмов. Действия РЗА моделируются последовательными переключениями в структуре модели (моделирование по временным интервалам) [5, 6].

Пример моделируемой схемы системы электроснабжения приведен на рис. 3.

На главной понизительной подстанции (ГПП) (см. рис. 3) установлены два трансформатора ТДТН-40000 напряжением 110/38,5/6,6 кВ. Электрическая связь трансформаторов с шинами ЗРУ-6 кВ подстанций выполнена с помощью токоограничивающих реакторов. Электрическая связь ГПП с шинами узловых подстанций энергосистемы напряжением 110 кВ осуществлена с помощью воздушных линий W1, W2.

На выделенной технологической подстанции ТП установлены синхронные турбодвигатели СТД-1000, используемые в качестве электроприводов ком-

прессорных установок. Суммарная мощность электродвигателей каждой секции ТП составляет – 2000 кВт. Все электродвигатели имеют тиристорные системы возбуждения и АРВ. Трансформаторные нагрузки НГ представлены обобщенно, значениями параметров Р и Q.

Математическая модель системы (см. рис. 4) сформирована методом объектного моделирования. Использована общепринятая мемоника объектов электрической системы, а также графическое отображение ее структуры. При полной готовности структурной схемы и старте модели программные модули использованных объектов определенным образом сопрягаются, организуется вычислительный процесс при заданных условиях и назначениях технических параметров.

Структурная схема модели полностью соответствует расчетной схеме. Предусмотрена возможность имитации

коротких замыканий, отключений и включений выключателей, а также автоматического ввода резервного питания потребителей электроэнергии при аварийных ситуациях. Электросеть системы представлена моделью в фазных координатах, в трехфазном исполнении, с учетом электромагнитных и электромеханических процессов. Токи во всех ветвях и фазах такой модели формируются с учетом их амплитудно-фазовых параметров, то есть адекватно естественным токам.

В качестве примера рассмотрим динамический режим эквивалентного синхронного двигателя СД-1 при трехфазном КЗ в цепи кабельного ввода ТП, отключении поврежденного кабеля и действии системы АРВ смежных секций. Расчетные осциллограммы приведены на рис. 5.

Как видно из осциллограмм, при коротком замыкании ( $\Delta T_{K3} = 0,4$  с) напряжение  $U_f$  на выводах двигателя резко снижается до нуля. Под действием АРВ напряжение возбуждения  $U_f$  форсируется до  $2U_{nom}$ . Влияние форсировки наглядно проявляется уже при отключении поврежденного кабеля, напряжение на выводах двигателя возрастает от 0,35 до 0,70 о.е.

В интервале времени перерыва питания ( $\Delta T_{K3} + \Delta T_{ABP} = 0,7$  с) нагруженный электродвигатель ( $P_0 = 0,9$  о.е.) тормозится так, что круговая частота вращения его ротора  $\omega_m$  снижается до 0,925 о.е. При таком снижении частоты вращения и восстановлении напряжения нормальной частоты возникает асинхронный ход синхронного двигателя, который сопровождается значительными колебаниями режимных параметров.

При восстановлении питания двигателя (от смежной секции) возникают условия его ресинхронизации. В данном эксперименте, благодаря ускоренной работе АРВ секций, двигатель втягивается в синхронизм за 2 с. При замедлении работы АРВ ресинхронизация электродвигателя существенно затягивается.

При реализации подобным образом различных комбинаций исходных данных для моделирования явлений и событий в системе электроснабжения определяются комбинации параметров переходных процессов в системе электропривода технологической установки (см. рис. 5), а по ним определяют:

■ параметры потока провалов в сочетании с оценкой устойчивости ТУ (устойчиво – неустойчиво);

■ данные о границах зон устойчивости ТУ.

Данные о неустойчивых вариантах служат основой для выбора мероприятий по техперевооружению и реконструкции с изменением структуры и параметров настройки системы РЗА. Учет экономических факторов позволяет последовательно переходить от наиболее простых и дешевых вариантов, постепенно вынужденно переходя к более сложным и более дорогим мероприятиям техперевооружения и реконструкции РЗА системы электроснабжения ответственных потребителей. Критерием необходимости и достаточности выбранного варианта состава мероприятий техперевооружения и реконструкции является устойчивость технологической установки, причем запас устойчивости может количественно определяться по взаимному расположению значений прогнозируемых параметров потока провалов и границы зоны устойчивости технологической установки в пространстве параметров провалов питающего напряжения на диаграмме по форме рис. 1.

#### Выводы:

1) Представленная методика позволяет расчетным итерационным путем определить экономически выгодную структуру и параметры РЗА для системы электроснабжения с обеспечением количественной оценки запаса устойчивости работы ответственных технологических установок.

2) Представленная расчетная методика может быть применена не только для потребителей электроэнергии, но и для собственных нужд генерирующих источников, включая АЭС. В последнем случае при определении параметров потока провалов следует в обязательном порядке учитывать неправильные действия РЗА (отказы, излишние и ложные срабатывания), а также отказы выключателей и действие УРОВ. ■

#### Литература

1. ГОСТ 13109-97 Электрическая энергия. Совместимость технических средств электромагнитная. Нормы качества электрической энергии в системах электроснабжения общего назначения.

2. Дьяков А. Ф., Максимов Б. К., Ильинская Н. С. Автоматизация новых и

действующих электрических подстанций. Энергетика за рубежом. Выпуск 3. 2006. Приложение к журналу Энергетик, с.169.

3. Арцишевский Я. Л., Чимаев Р. В. Анализ вероятностных характеристик провалов напряжения в системах электроснабжения. Материалы XXVII сессии семинара «Электроснабжение». Новочеркаск. 27–29 сентября 2005г.

4. Арцишевский Я. Л., Иванов В. И. Методика прогнозирования статистики провалов питающего напряжения в секционированных распределительных сетях электроснабжения. Изв. вузов. Электромеханика, 2004, № 6, стр. 18–22.

5. Арцишевский Я. Л., Задкова Е. А., Кузнецов Ю. П. и др. Методика реализации требований к релейной защите и автоматике систем электроснабжения электроприемников с особо сложными технологическими процессами. Вестник МЭИ, 2008, № 4, стр. 55–59.

6. Кузнецов Ю. П. Объектное моделирование электрических станций и подстанций в операционной среде «Mathlab». – М.: Издательство МЭИ. 2008.